

# SEYSMİK TƏDQİQATIN AVO ANALİZİNƏ ƏSASƏN HASİLAT SAHƏSİNDE KƏSİLİŞİN PERSPEKTİVLİ İNTERVALLARININ AŞKAR EDİLMƏSİ

T.R.Əhmədov, Y.T.Əlibayova, G.A.Əliyeva, A.M.Məmmədova

Azərbaycan Dövlət Neft və Sənaye Universiteti

**Açar sözlər:** 3D seysmik kəşfiyyat, seysmik horizont, AVO-analiz, Klauder signali, modelləşdirmə, minimal-fazlı impuls, anomaliya

## Referat

Məqalədə təqiqat sahəsi, onun geoloji-geofiziki öyrənilməsi başında qısa məlumatlar verildikdən sonra aparılan işlərin metodikasından, alınmış nəticələrdən bəhs edilir. İşlərin sahədə yerinə yetirilmə şəraitinin müxtəlifiyi, quruda, dənizdə, kiçik göl və gölmaçelərdə işlər aparıldığından, tətbiq edilən dalğa mənbələri və seysmoqəbuləcicilər də müxtəlif olmuşlar: partlayış, akustik, vibro mənbələrdən və geofonlar, hidrofonlar, marşfonlardan istifadə edilmişdir. Bu da öz növbəsində seysmik yazıldardan vahid 3D kubunun alınması məsələsini vacib və aktual etmişdir. Modelləşdirmədən istifadə etməklə bu məsələ həll edilmişdir.

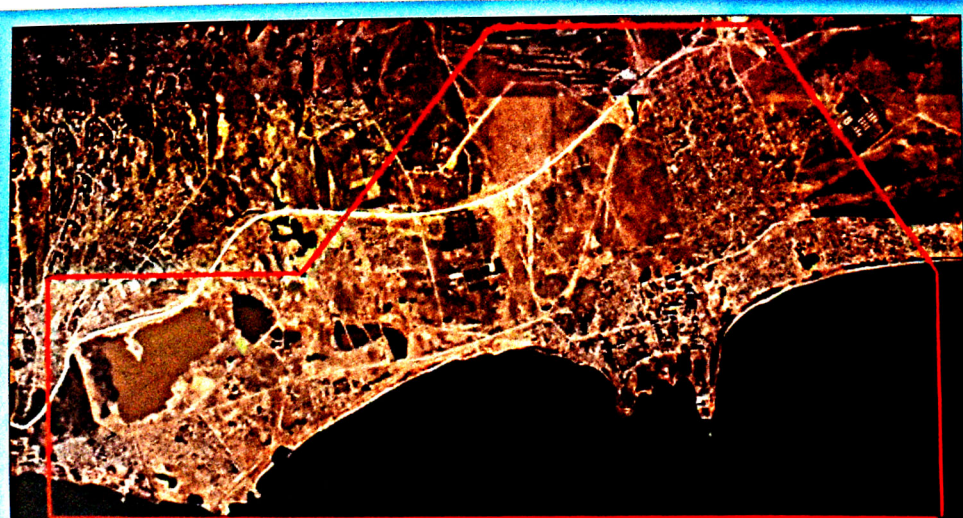
Tədqiqat sahəsində yaxşı kollektorluq xassələri ilə seçilən anomal kəsiliş hissələrinin və onların planda yerlərinin müəyyən edilməsi məqsədilə "ekspres AVO-analiz" aparılmışdır. AVO-analizin hesablamaları Şue tənliyinin ikihədli variantında

aparılmışdır, yəni uzununa dalğanın (P-dalgasının) normal düşmə halı üçün əksetdiricilik qabiliyyəti (A əmsali) və həmin P-dalğasının ayırıcı sərhədə aralıq düşmə bucaqlarında ( $0 - 30^\circ$  bucaqlarda) əksetdirilmə qabiliyyətini səciyyələndirən qradiyent (B əmsali) hesablanmışdır.

Aparılmış AVO-analiz nəticəsində görmülmüş Hasılat-2 paleoqalxımının yamacında Miosenin yuxarılarında kollektor xassələrinin yaxşılaşdığı zona ayrılmış və xəritələndirilmişdir. Dinamik (amplitud) kəsilişlərdə bu zona zəif amplitudlu seysmik yazı fonunda öz intensivliyi ilə seçilir. Bu anomaliyanın konturları SH – V seysmik horizontu üzrə minimal amplitudlar xəritəsi üzərində göstərilmişdir.

## Giriş

Hasılat sahəsi Bakı şəhərinin şərqində, Abşeron yarımadasının cənubi-şərqində, Suraxani rayonu ərazisində yerləşir (şəkil 1).



Şəkil 1. ÜDN-3D üsulu ilə xəritələndirmənin konturlarının kosmik təsviri

Tədqiqat sahəsinin öyrənilməsinə hələ XIX əsrda Suraxanı-Qaraçuxurun (Qaraçuxur sahəsinin) hüdudlarında kəşfiyyat quyusunun qazılması ilə başlanmışdır. Keçən əsrin 30-cu illərində 1:50 000 miqyasda geoloji, elektrik (1930-1934 illərdə), qravimetrik (1934-41, 1950 illərdə), qaz (1941-1945 illərdə) planalmaları aparılmışdır. Elektrik kəşfiyyat işlərinin nəticəsində Binə-Hövsan sinklinalının tektonikası barəsində ilk təsəvvür əldə edilmiş, qaz planalmasına görə isə Hövsan yatağında anomal zonalar ayrılmışdır [3].

1937-1941, 1945-1949, 1949-1951 və 1955 illərdə əks olunan dalğalar üsulu (ƏDÜ), 1977-78 illərdə ümumi dərinlik nöqtəsi (ÜDN) üsulu ilə seysmik kəşfiyyat işləri aparılmışdır. 1993 və 1999 illərdə ərazidə ayrı-ayrı profillər işlənmişdir. 1996 və 2003-2004 illərdə "Azərneftgeofizika" tresti (hal hazırda Kəşfiyyat Geofizikası İdarəsi) burada müfəssəl seysmik kəşfiyyat işləri aparmışdır. 1993-cü ildə sahənin cənubi-şərqi hissəsini qismən əhatə edən "quru-dəniz" üsulu ilə seysmik kəşfiyyat işləri yerinə yetirilmişdir.

Tədqiq edilən Hasilat sahəsinin də daxil olduğu Abşeron neftli-qazlı rayonun geoloji-geofiziki materiallarının dəfələrlə ümumiləşdirilməsi həyata keçirilmişdir. Ümumiləşdirilmələrin nəticələri həm dərc edilmiş ədəbiyyatda, həm də Azərbaycan Respublikasının Neft Şirkətinin müxtalif müəssisələrinin hesabatlarında öz əksini tapmışdır.

Mühitin sürət modelinin öyrənilməsi məqsədilə 1949-1950-ci illərdə Qaraçuxur sahəsinin 60, Zığın 156, 191, Hövsanın 1310, 1508 sayılı quyularında seysmokarotaj işləri, 2010 və 2014-cü illərdə Hövsanın 1856 və 1867 sayılı quyularında şaquli seysmik profilləmə (SSP) işləri yerinə yetirilmişdir.

Geoloji – geofiziki tədqiqatlar və dərin qazımı nəticələrinə əsasən öyrənilən sahənin hüdudlarında iki neft yatağı – qərbdə Hasilat-1 və sahənin şərqində Hasilat-2 yataqları açılmışdır. Hal hazırda bu yataqlar istismardadır: Hasilat-1 yatağı istismarın son mərhələsində, Hasilat-2 isə intensiv istismar mərhələsindədir [5]. Tədqiqat sahəsinin hüdudlarında və onun yaxınlığında cəmi 311 axtarış-kəşfiyyat, dəyərləndirmə və istismar quyuları qazılmışdır. Bu quyulardan bəziləri Hasilat yatağında üst Miosenin Pont çöküntülərini açmışdır. Qalan quyuların dibi Neogen çöküntülərinin Məhsuldar Qatının alt və üst hissələrindədir.

Tektonik cəhətdən tədqiqat sahəsi Şərqi Abşeron

sinklinorisinə daxildir və Qaraçuxur-Zığ antiklinalinin bir hissəsini, həm də qismən Binə-Hövsan sinklinalını əhatə edir.

### **Tədqiqatların metodikası.**

Hasilat-1 və 2 yataqlarında çoxlu sayıda quyu qazılmasına və müxtəlif üsullarla geoloji-geofiziki tədqiqatlar aparılmasına baxmayaraq, sahənin geoloji quruluşunun mürəkkəbliyi, kəsilişi təşkil edən çöküntülərin litofasial dəyişkənliliyi ilə əlaqədar, ərazinin dərinlik tektonikasının və neft-qaz yataqlarının formalşma şəraitlərinin bir çox məsələləri tam aydınlaşdırılmışdır. Ona görə də 2012-ci ildə SOCAR-ın Kəşfiyyat Geofizikası İdarəsi Abşeron Operating Company firmasının sifarişi ilə burada 3D seysmik kəşfiyyat işləri aparmışdır. Alınmış çöl seysmik materialları Tümdən və Moskva ("Pangeya" firması) şəhərlərində emal edilmiş və onların müəyyən hissəsi ADNSU-nun "Geofizika" kafedrasında yenidən interpretasiya edilmişdir [1, 6]. Çöl işləri, yəni seysmik dalğaların yazılıması (qeydiyyatı), I/O IMAGE (ABS) telemetrik sistemi vasitəsilə həyata keçirilmişdir. Quruda 2D seysmik tədqiqatlarda profil xətləri boyu müşahidələrdə ardıcıl-paralel birləşdirilmiş 12 (6x2) GS20-DX Super geofonlarının qruplaşdırılmasından istifadə edilmişdir. Su basmış hissələrde (göllərin bataqlılaşmış hissələri, elə göllərin özləri və s.) enerji itkilərinin aradan qaldırılması üçün geofonlar deyil, ardıcıl-paralel birləşdirilmiş 6 (3x2) GS20-DX Super marşfonlarından ibarət qruplaşdırılma tətbiq edilmişdir. Bu marşfonlar suyun dərinliyi 2 m-i keçmədikdə sahənin sulu hissələrində istifadə edilən seysmoqbuledicilər rolunu oynayır. Eyni zamanda seysmik tədqiqatların yerinə yetirilmə şəraitlərində asılı olaraq işlərin aparıldığı sal də seysmik dalğaların müxtəlif həyəcanlandırıcı mənbələrindən, seysmoqbuledicilərin isə növündən istifadə edilmişdir. Ona görə də məlumatların emalı zamanı birləşdirilmiş 3D seysmik kəsən alınması üçün dalğa mənbəi növlərinin hamının şüalandırıldığı seysmik impulsların vahid formaya, məhz minimal-fazalı formaya gətirilməsi və ib məsələyə çevrilmişdir. Nəzəri olaraq partlayış və impuls mənbə signallarının formaları bir-birlərinə yaxındır və impulsun minimal-fazalı formasına malikdir, halbuki vibrasiya mənbəyinin impulsu sıfır-fazalı, akustik impulsunki isə qarşıq-fazalıdır.

Vibrasiya mənbəyinin impulsunun minimal-fazalı

formaya gətirilməsi üçün sonradan minimal-fazalı impuls almaq məqsədilə gətirmə süzgəci hesablanmış Klauder impulsunu əldə etmək üçün svip-sinal barəsində məlumatlar (8-80 hers tezliklər diapazonunda xətti svip-signal, uzunluğu və ya sürəkliliyi - 10 san, kosinusluğu - 0,5) əsasında modelləşdirilmə aparılmışdır (*Şəkil 2*).

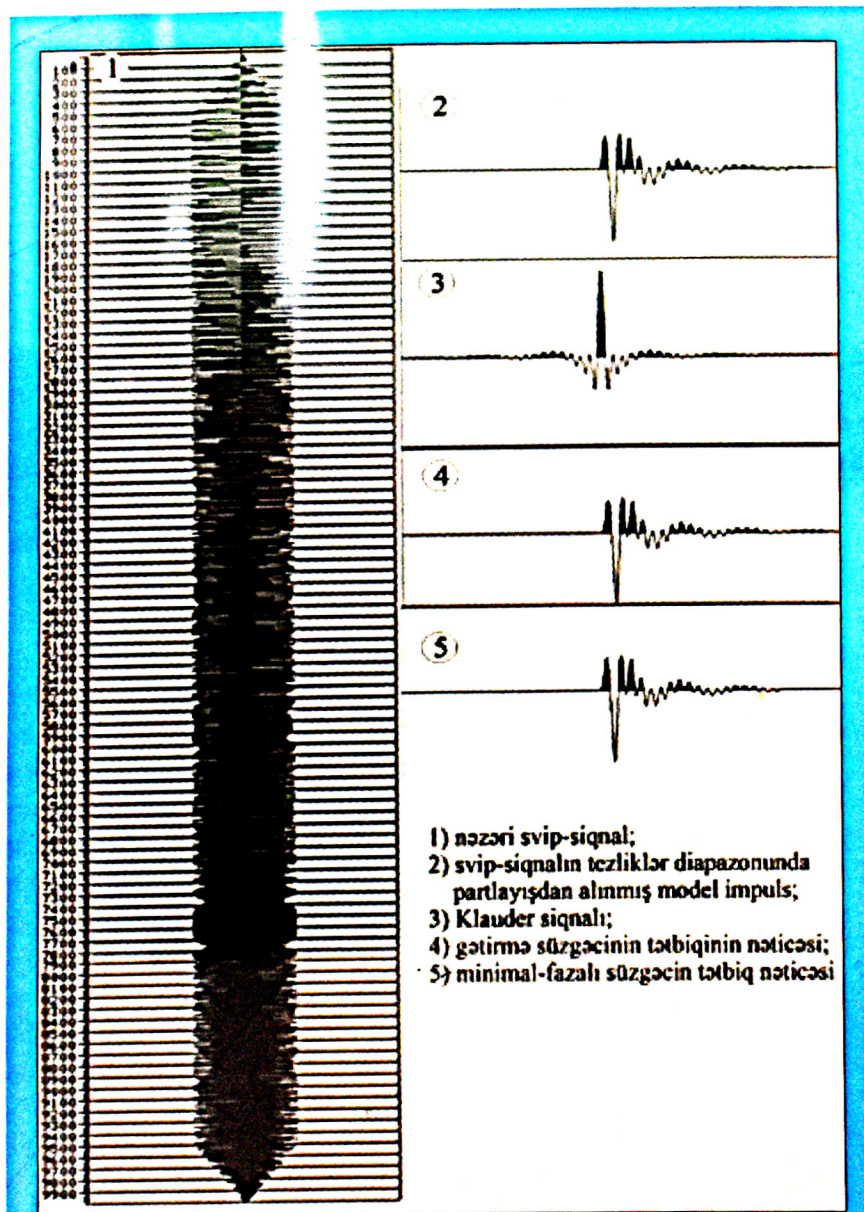
Modelləşdirmə nəticəsində gətirmə süzgəcini almaq mümkün oldu lakin real məlumatlar üçün onun sonrakı tətbiqi sahələri olmadığından, belə ki, alınmış süzgəc signalının müxtəlif tezlik təşkiledicilərinin

süzgəcin seçilməsi qərarına gəlindi.

Akustik dalğa mənbəyi qarışq-fazalı xarakteristik siqnaldır, onun minimal-fazalı impuls formasına gətirilməsi üçün pnevmotopun siqnatürünü vahid minimal-fazalıya gətirmək üçün statistik dekonvolüsiyadan istifadə edilmişdir. Bu emal proseduru geniş pəncərədə W800-W2500 1%-lik küt fatoru ilə 400 msan uzunluqlu operatorun tətbiqi ilə yerinə yetirilmişdir.

Tədqiqat sahəsində müxtəlif tipli seysmoqəbuledicilərdən (geofonlar, hidrofonlar və keçid zonasının qəbuledicilərindən) istifadə edildiyindən identikliyə təshih (düzəliş) aparılmışdır. Bu məqsədlə siqnalın amplitudlarının və tezliklərinin xəritələri qurulmuş, bunların, həm də müxtəlif mənbələrin, müxtəlif seysmoqəbuledicilərlə alınmış seysmoqramların analizi əsasında siqnalın tezliyinin və onun fazasının qəbuledicinin növündən asılı olmadığı qənaətinə gəlinmişdir. Yeganə fərq amplitudlarda oldu ki, bu da özünü sahə boyunca qeyri-bərabər dəyişmədə göstərdi. Bu fərq mənbə və qəbuledicilərin sahə boyu uzlaşdırılmış dinamik təshihinin tətbiqi gedişində aradan qaldırıldı.

Müxtəlif mənbələrin seysmik siqnallarının bir-birlərini örtmə zonasında və mümkün zaman sürüşmələrini aradan qaldırmaq üçün hər mənbədən ayrı-ayrılıqda öncül (qabaqlayıcı) cəm kəsilişlər alınmışdır. Qabaqlayan və ya xam kublar ÜDN seysmoqramlarından bu prosedurları yerinə yetirməklə alınmışdır: sönməyə və sferik genişlənməyə görə amplitudların bərpası (REFOR); zolaq süzgəcləməsi (FILTR B (12, 24, 48, 64)); dekonvolüsiya (DECON) və amplitudların tarazlaşdırılması (DYNQU). Bu zaman sürət xam skanlaşdırma əsasında seçilmiştir,



*Şəkil 2. Modelləşdirmə vasitəsilə vibrasiya mənbəyinin siqnalının minimal-fazalı impuls formasına gətirilməsi*

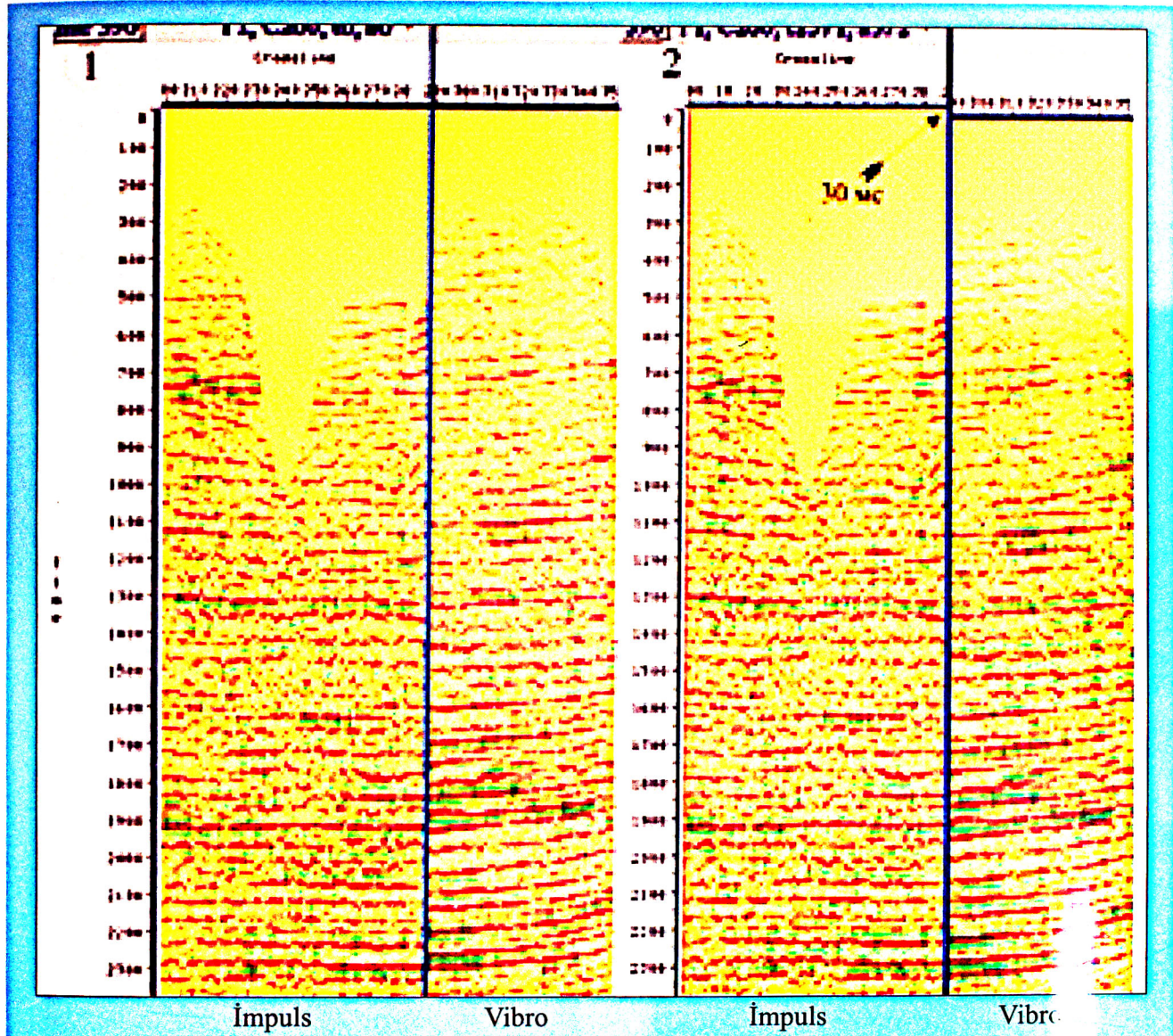
fazasını eyni cür dəyişdirmədi və svip-signalın tezliklər diapazonunda minimal fazalı süzgəc tətbiqi ilə daha yaxşı nəticə alındığından, məhz bu

bunun nəticəsində nadir şəbəkə üzrə apriori sürət qanunu alınmışdır. Alınmış kəsilişlər pis ayırdedici liyə malik olduğundan onların analizi çətinləşirdi, yalnız

pnevmatik mənbə seysmoqramlarından istifadə edilməklə hesablanmış kub müstəsnalıq təşkil edirdi. Məhz buna görə də hər mənbə növü üçün statik və kinematik düzəlişlərin təshihini (PACS3D) ayrı-ayrılıqla yerinə yetirmək qərara alınmışdır. Alınmış

partlayış ilə qəbul məntəqələri üçün statik düzəlişlər xəritələri qurulmuşdur.

Sonra pnevmatik mənbənin əvvəlki mərhələdə alınmış seysmoqramlarına quruda yerləşmiş qəbul-edicilər üçün düzəlişlər verilmişdir. Bununla da keçid



**Şəkil 3. İmpuls və vibrasiya mənbələri üçün line 390 üzrə xam cəm kəsilişlər:**

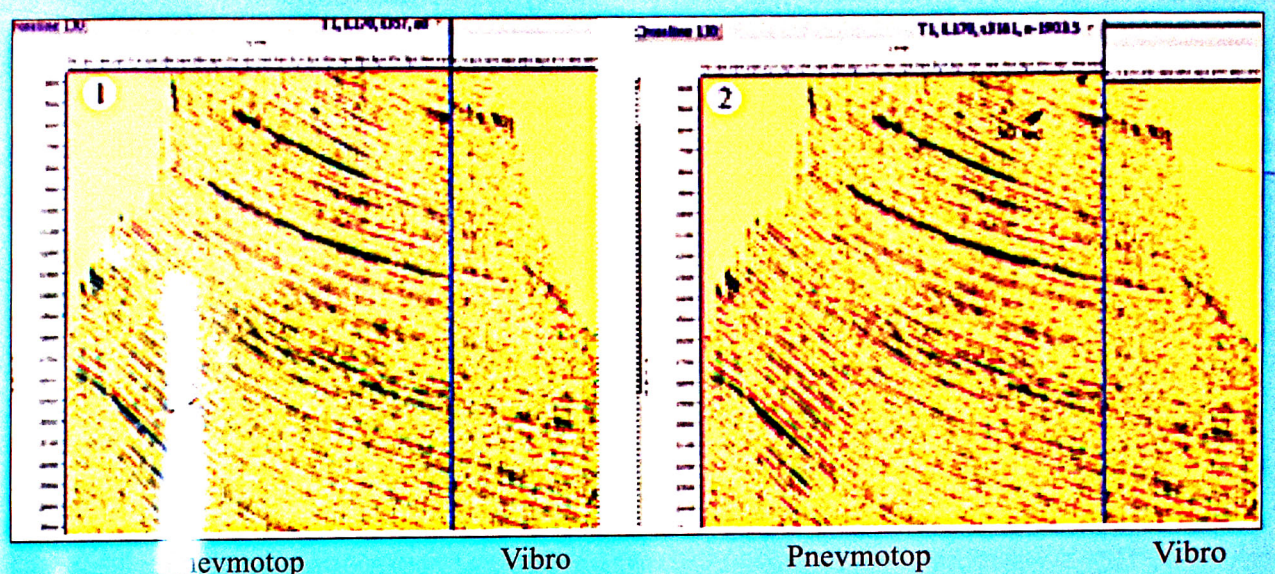
1) sürüsdürmədən əvvəl; 2) sürüsdürmədən sonra

düzəlişlər əsasında hər mənbə üçün xam (öncül) cəm kəsilişlər qurulmuşdur. Analiz nəticəsində müəyyən edilmişdir ki, vibrasiya mənbəyi üçün impuls və akustik mənbələrə nisbətən 30 msan (*şəkil 3, 4*), partlayış mənbəyinə nəzərən 25 msan (*şəkil 5*) zaman sürüşməsi alınır.

Mənbələrə görə düzəlişlər nəzərə alındıqdan bütün yerüstü mənbələr üzrə statik və kinematik düzəlişlər yenidən hesablanmışlar (*şəkil 6*) və

zonasında (quru-dəniz keçidi) seysmiq horizontların izlənilməsini yaxşılaşdırmaq mümkün olsadır.

Statik və kinematik düzəlişlərin təshihinin ikinci mərhələsində tədqiqat sahəsi tam əhatə olunmuşdur, bununla da həm dəniz, həm yerüstü hissə, eyni zamanda keçid zonası da təshih edilmişdir. Emalın bu mərhələsinin nəticəsi tezliklərin məhdud diapazonunda birləşdirilmiş seysmiq kubunun alınması olmuş (*şəkil 7*) və partlayış məntəqələri və qəbul



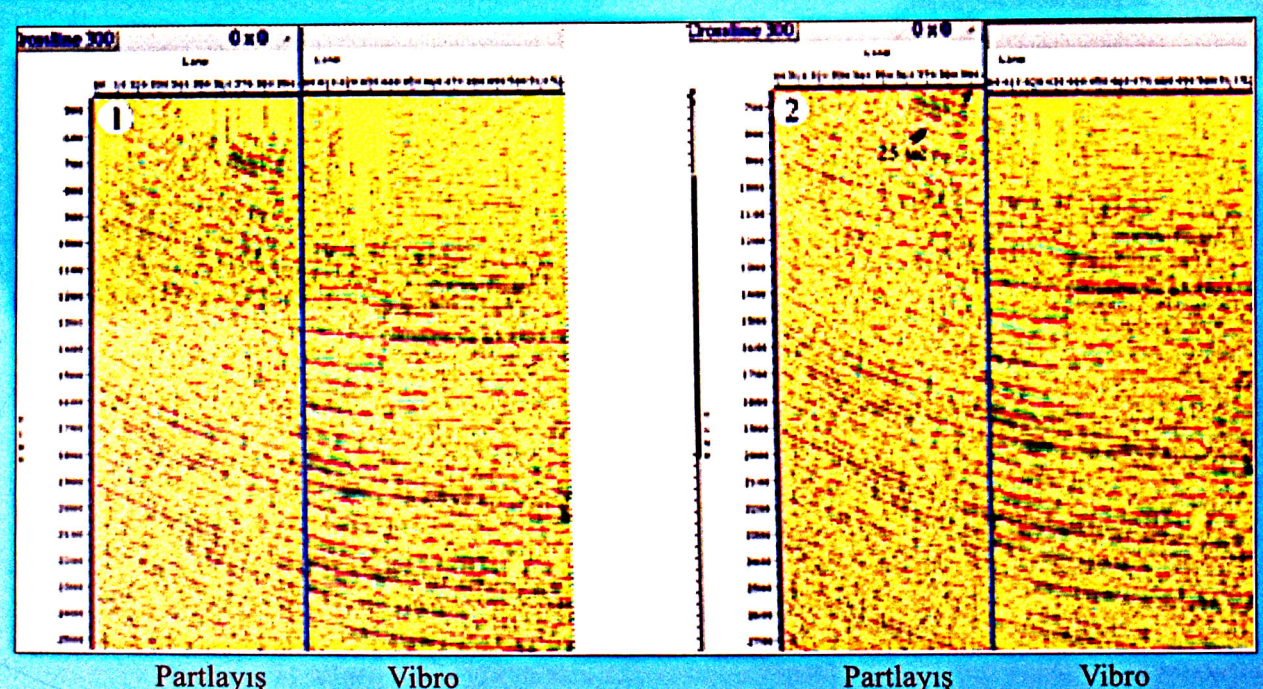
**Şəkil 4. İmpuls və vibrasiya mənbələri üçün crossline130 üzrə xam cəm kəsilişlər:**

1) sürüsdürmədən əvvəl; 2) sürüsdürmədən sonra

məntəqələrinə görə statik düzəlişlər xəritələri qurulmuşdur. Şəkil 8-də birləşdirilmiş kubun örtmə (örtük) dərəcəsinin ümumi xəritəsi nümayiş etdirilir.

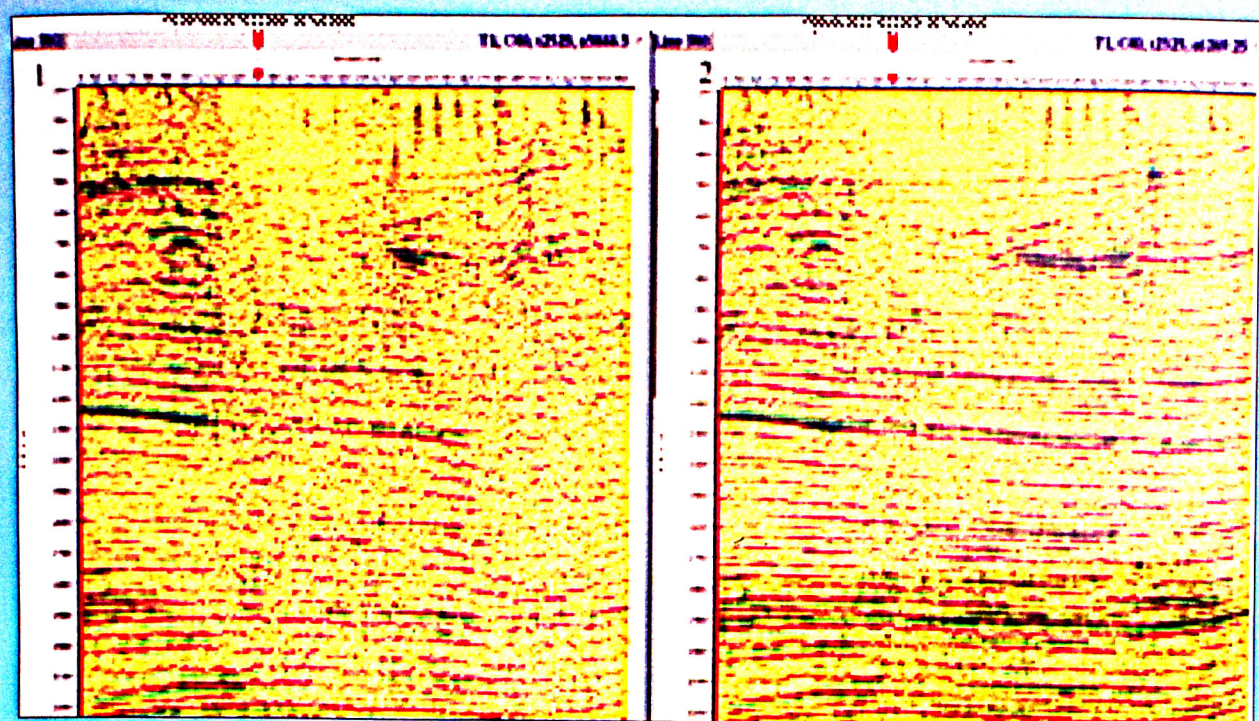
Bütün statik və kinematik düzəlişlərin təshihindən sonra  $600 \times 600$  metr şəbəkə üzrə VESPA modulu ilə hesablanmış şaquli spektrlərlə sürətlərin təshihini həyata keçirilmişdir. Nəhayət, TDSAT modulu

üçfaktorlu modeldə statik düzəlişlərin təshihini aparılmışdır, düzəlişlər - 2-dən 3 msan arasında dəyişir ki, bu da öz növbəsində statik və kinematik düzəlişlərin təshihinin səmərəliliyini təsdiq edir.

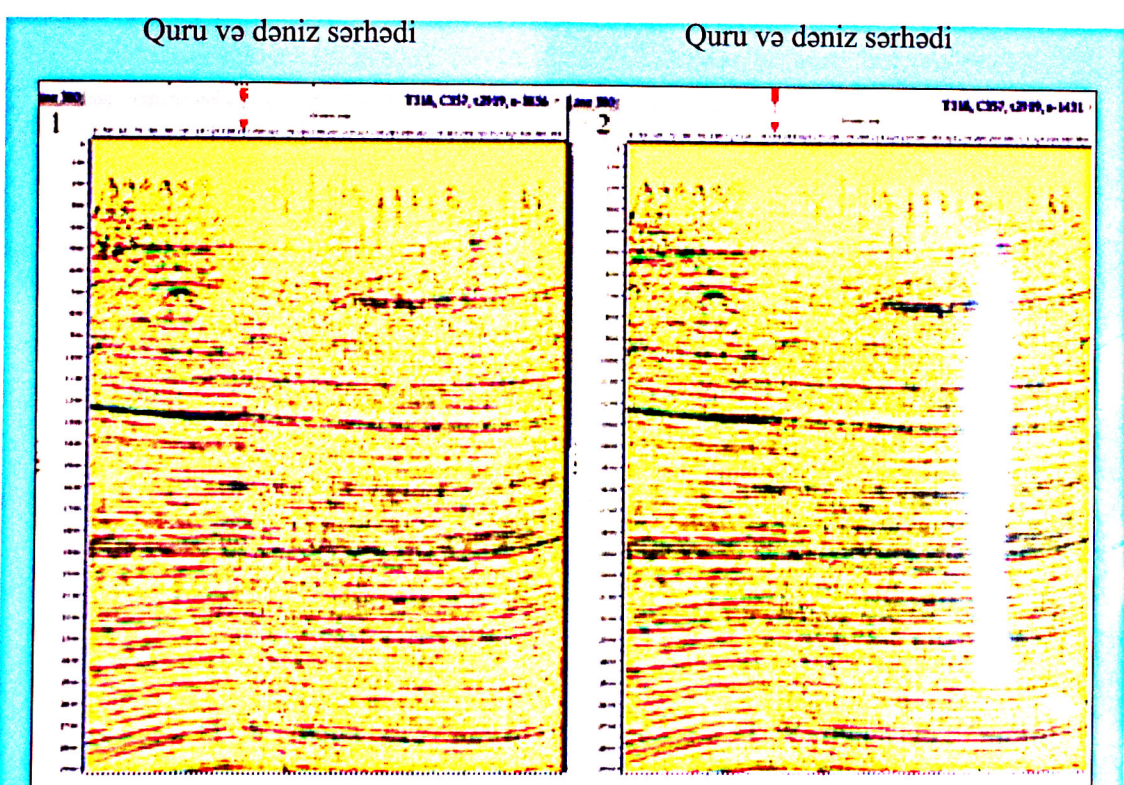


**Şəkil 5. Partlayış və vibrasiya mənbələri üçün crossline 300 üzrə xam cəm kəsilişlər:**

1) sürüsdürmədən əvvəl; 2) sürüsdürmədən sonra

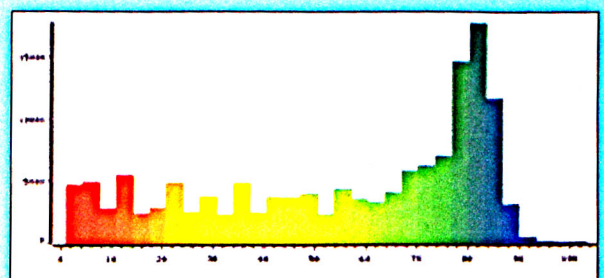
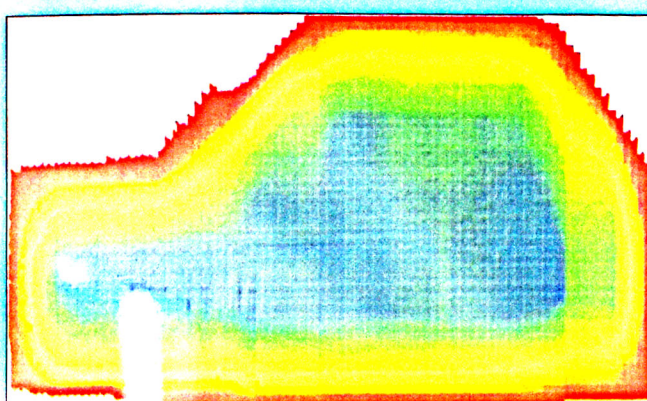


*Şəkil 6. Line 380 xətti üzrə statik və kinematik düzəlişlərin təshihindən əvvəl (1) və sonra (2) zaman kəsilişləri*



*Şəkil 7. Statik və kinematik düzəlişlərin təshihindən əvvəl (1) və sonra (2)*

*line 380 xətti boyu zaman kəsilişləri*

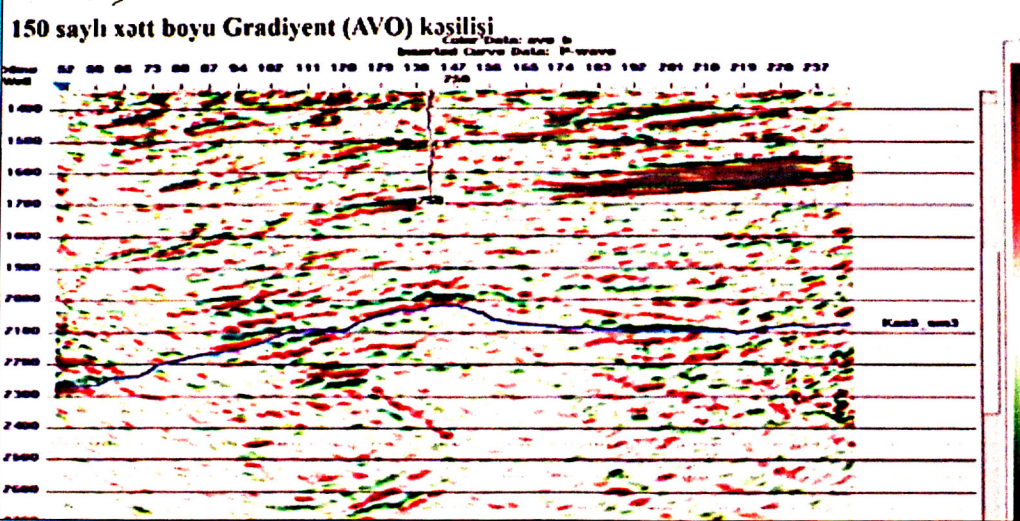
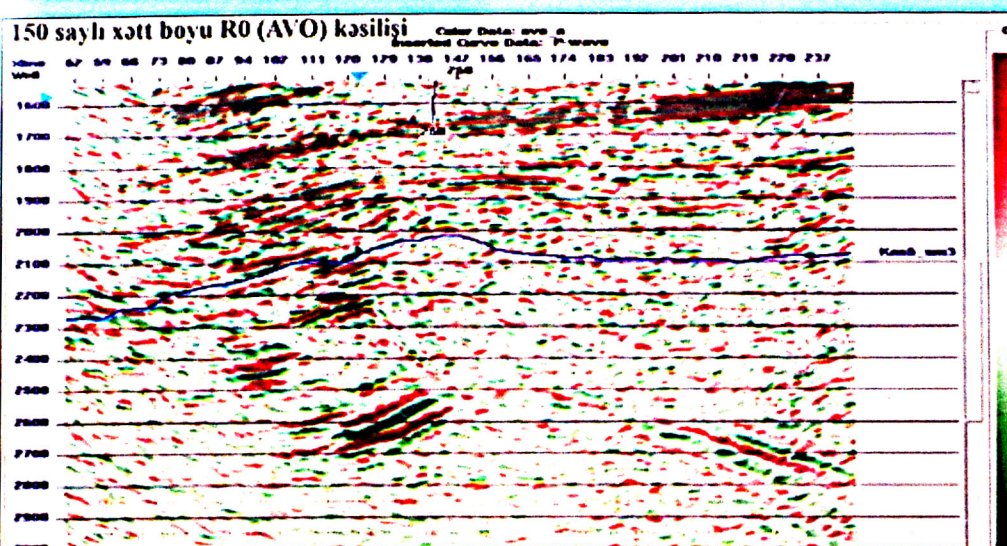


*Səkil 8. Faktiki örtmə (örtük) dərəcəsi xəritəsi*

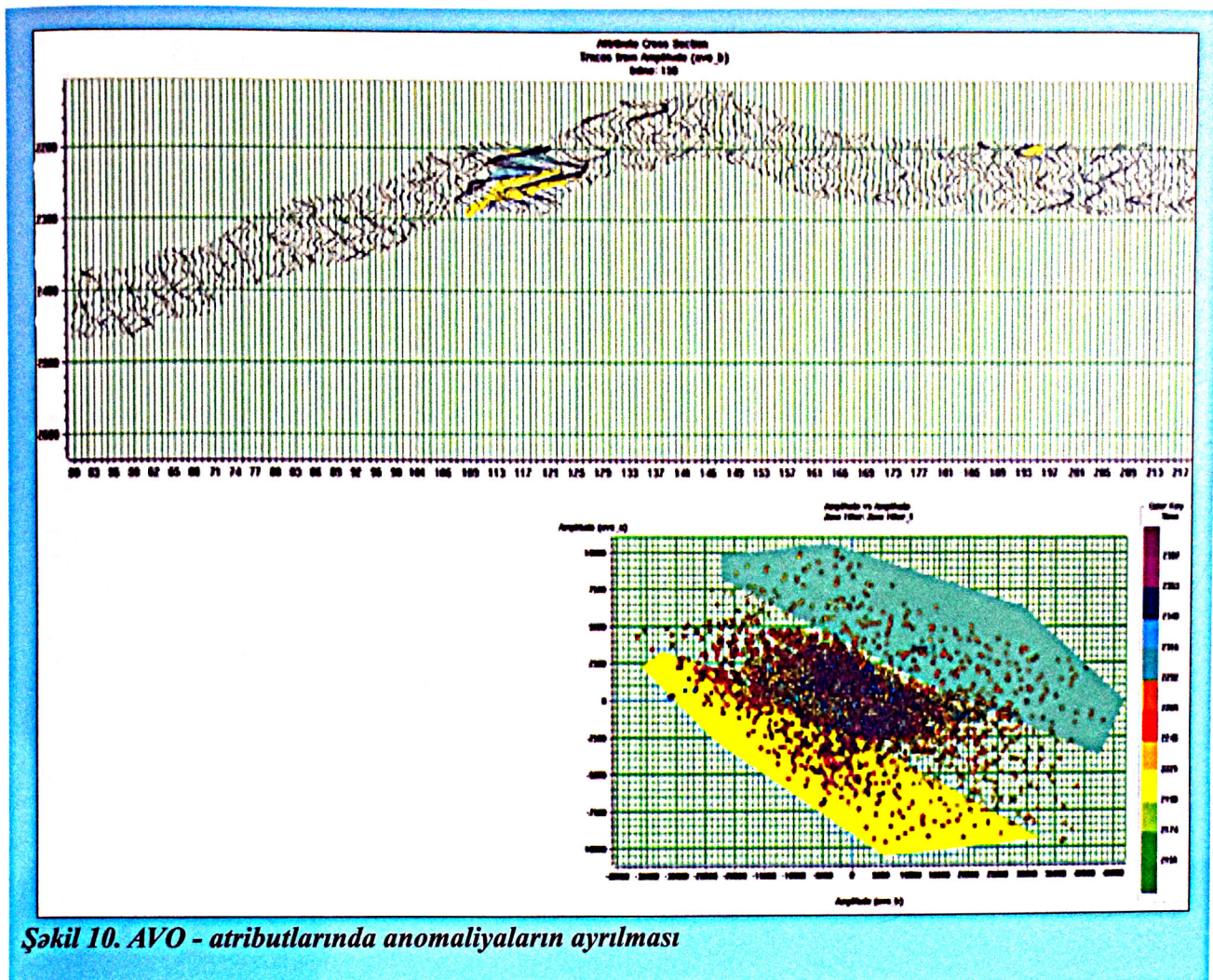
### AVO-ANALİZ

Tədqiqat həsində yaxşı kollektorluq xassələri ilə seçilən normal kəsiliş hissələrinin və onların

planda yerlərinin müəyyən edilməsi məqsədilə “ekspress AVO-analiz” aparılmışdır. AVO-analizin hesablamaları Şue tənliyinin ikihədli variantında aparılmışdır, yəni uzununa dalğanın (P-dalğasının)



*Səkil 9. AVO-nun normal düşmə və qradiyent kəsilişləri*



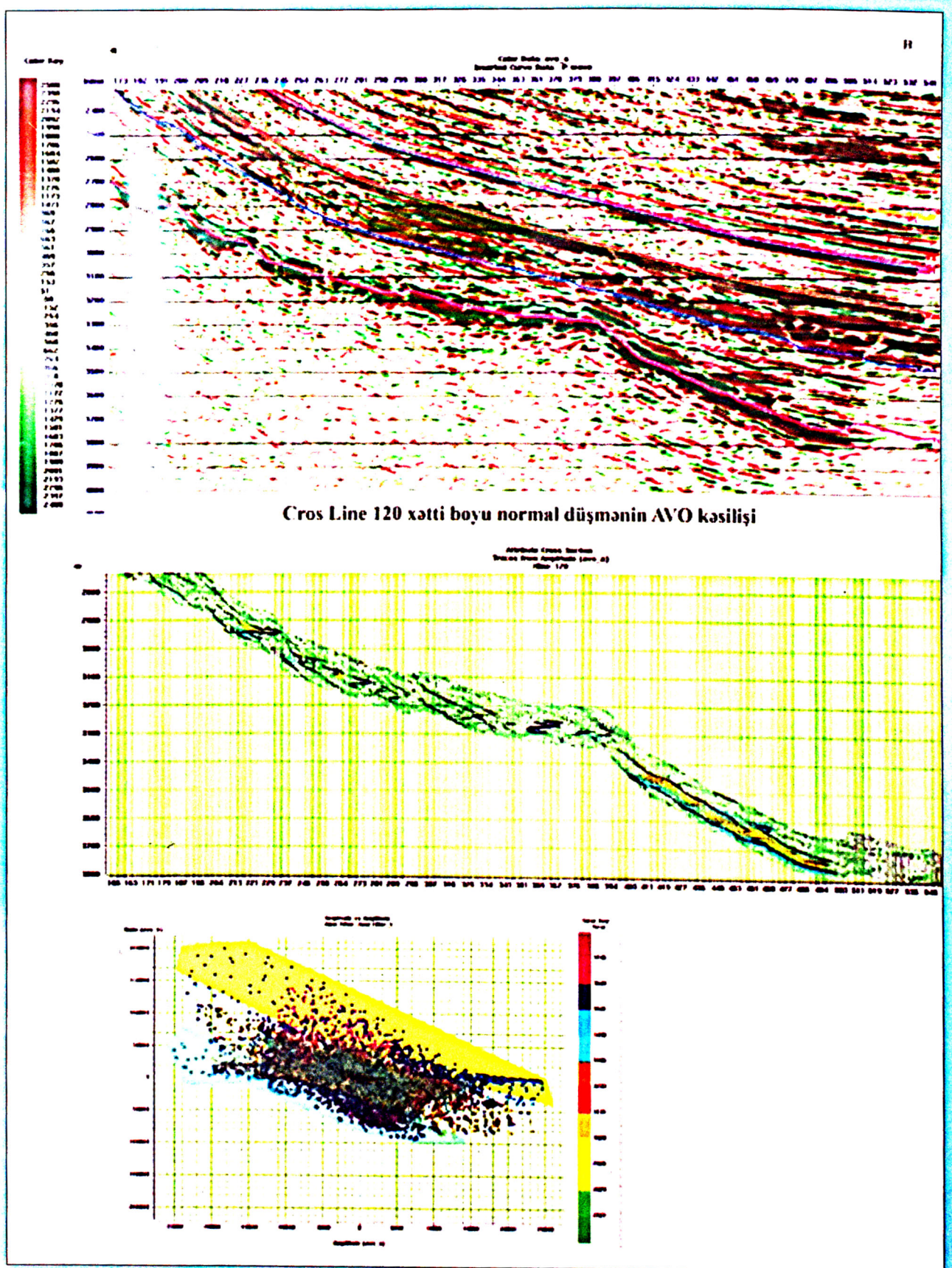
**Şəkil 10. AVO - atributlarında anomaliyaların ayrılması**

normal düşmə halı üçün əksetdiricilik qabiliyyəti (A əmsali) və həmin P-dalğasının ayırıcı sərhədə aralıq düşmə bucaqlarında ( $0 - 30^\circ$  bucaqlarda) əksetdirilmə qabiliyyətini səciyyələndirən qradiyent (B əmsali) hesablanmışdır [2, 8]. Beləliklə, “normal düşmə zamanı amplitudlar” və qradiyentlər kublarından istifadə edilmişdir (**şəkillər 9, 10**).

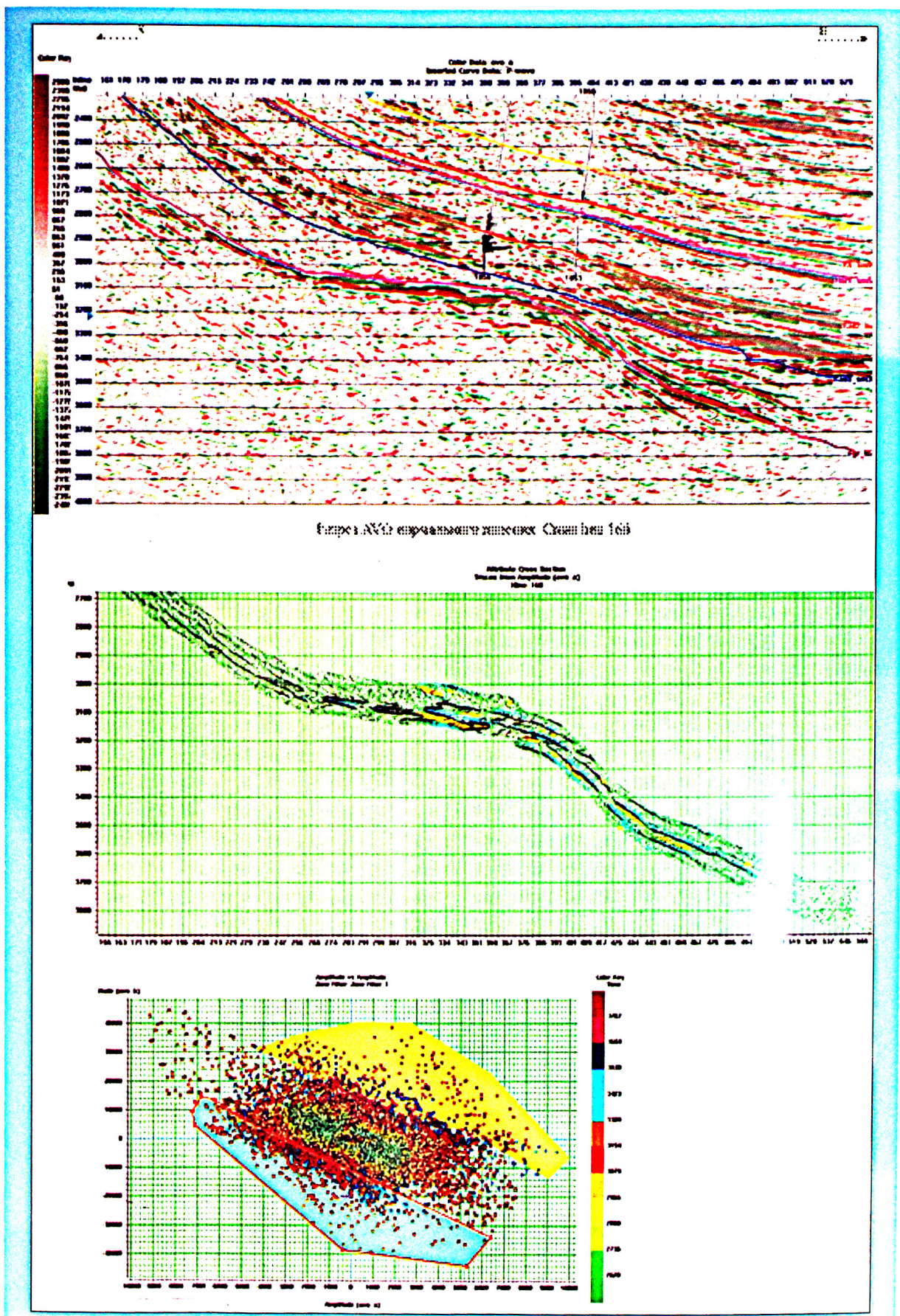
Analizin aparılması üçün ayrılmış anomaliyanı kəsib keçən bir neçə xətt (profil) seçilmişdir. Bu elə edilmişdir ki, tədqiq edilən obyektdən kənarda fon sahəsinin mövcudluğu təmin edilsin. Bundan sonra müvafiq krossplotlar qurulmuş və bunların üzərində fon trendindən sapmalar (meyllər) sahəsi ayrılmışdır. Həmin sahələr müvafiq kəsilişlər üzərinə köçürülmüşdür. Daha sonra krossplotlarda ayrılmış zonalar kəsilişlərdə tədqiq edilən anomaliyaların vəziyyətləri tutuşdurulmuşdur. Aparılmış bu analizin

nəticəsində gömülülmüş Hasilat-2 paleoqalxımının yamacında Miosenin yuxarılarında kollektor xassələrinin yaxşılaşlığı zona ayrılmış və xəritələndirilmişdir (**şəkillər 9, 10**).

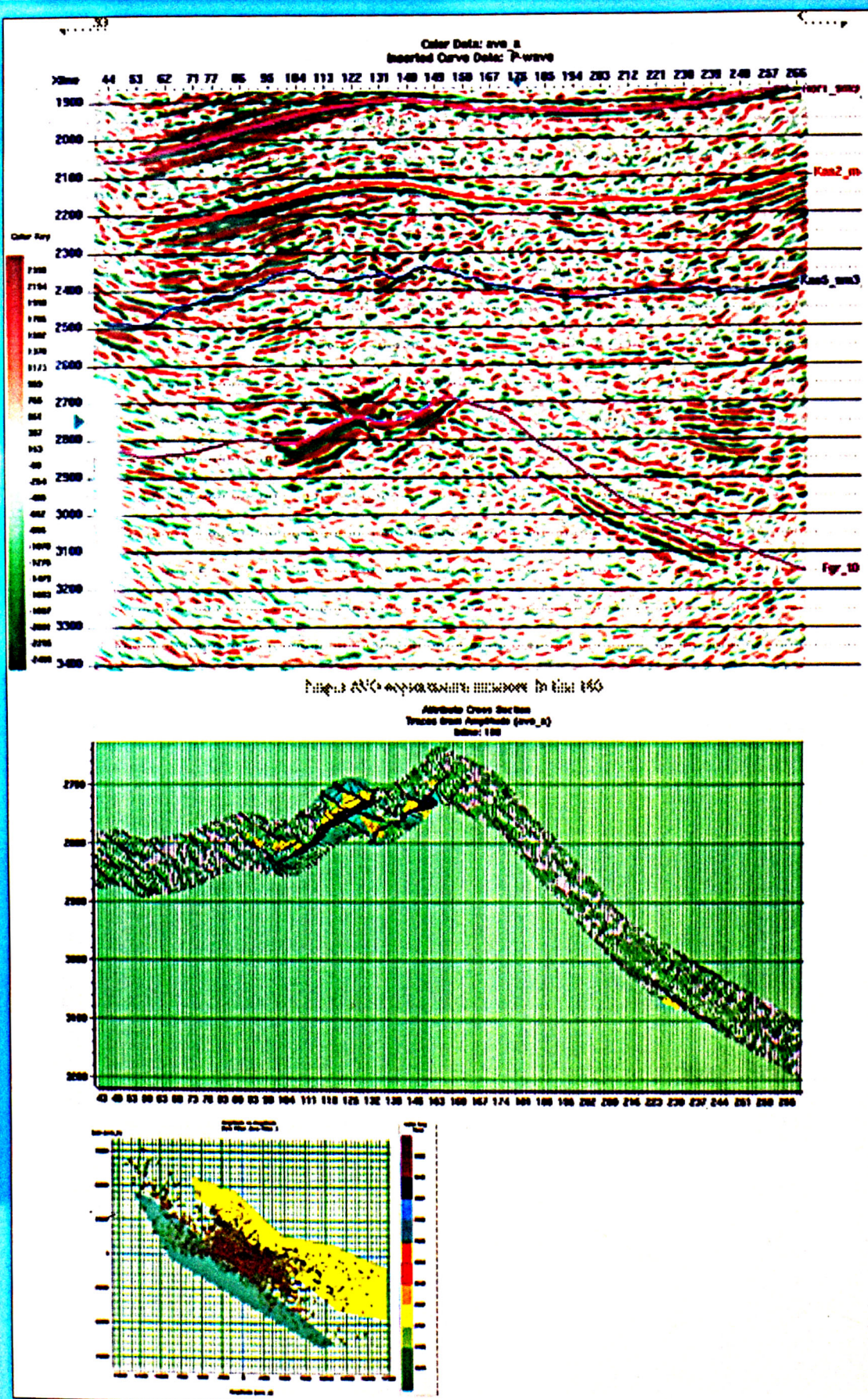
**11 və 12-ci şəkillərdə** Cross Line 120, 160 və 13-cü şəkildə isə In Line 180 xətləri üzrə AVO-analiz nəticələri verilmişdir. Alınmış nəticələrin təhlili göstərir ki, axtarış üçün ən vacib və mühüm maraq kəsb edən In Line 180 xəttində Miosen çöküntülərində ayrılan anomaliyadır. Ayrılmış anomaliyaların ölçüləri çox da böyük olmağı tələb etməyindən hər şeydən əvvəl onların ayrıca əhəmiyyət kəsb etmədiklərini qeyd etmək olar, lakin nəzərdə tutmaq lazımdır ki, hər hansı başqa bir obyektə kəşfiyyat qazması aparılsara, bu anomaliyani da sinəqdan keçirmək olar.



Şəkil 11. Cross Line 120 xətti boyu AVO-analizin nəticələri



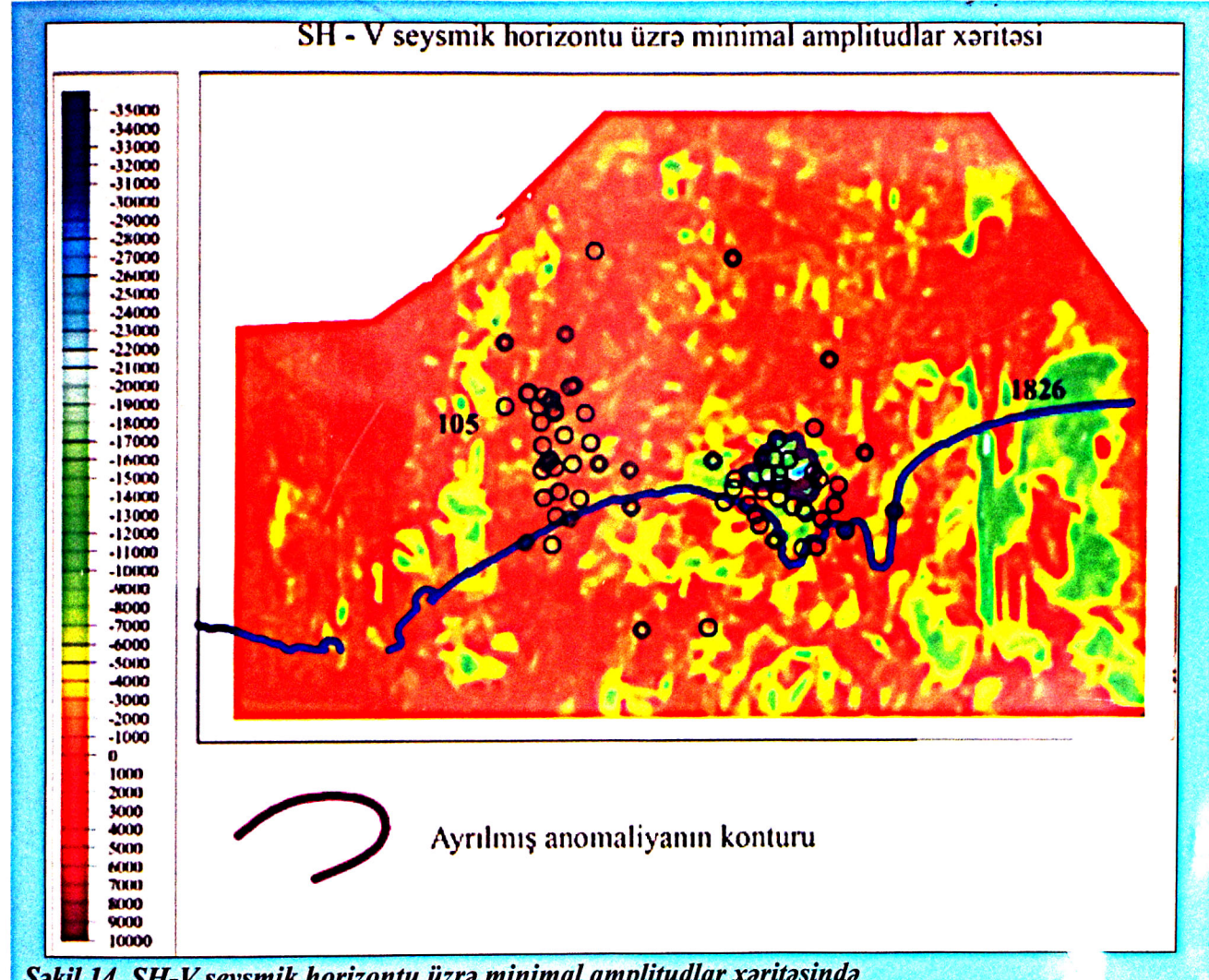
Şəkil 12. Cross Line 160 xətti boyu AVO-analizin nəticələri



Şəkil 13. İn Line 180 xətti boyu AVO-analizin nəticələri

Dinamik (amplitud) kəsilişlərdə bu eksolunma zəif amplitudlu seysmik yazı [1, 7] fonunda öz intensivliyi ilə seçilir (şəkil 14). Bu anomaliyanın konturları SH – V seysmik horizontu üzrə minimal amplitudlar xəritəsi üzərində göstərilmişdir

AVO-analiz” aparılmışdır. AVO-analizin hesablamaları Şue tənliyinin ikihədli variantında yerinə yetirilmişdir, yəni uzununa dalğanın (P-dalğasının) normal düşmə halı üçün əksetdiricilik qabiliyyəti (A əmsalı) və həmin P-dalğasının ayırıcı sərhədə aralıq



**Şəkil 14. SH-V seysmik horizontu üzrə minimal amplitudlar xəritəsində AVO anomaliyasının konturları**

## NƏTİCƏ

AVO-analizin yerinə yetirilməsi üçün müxtəlif dalğa mənbələri və seysmoqbuledicilərlə alınmış seysmik yazılarından vahid kubun tərtib edilməsi üçün modelləşdirmədən istifadə edilmişdir. Müxtəlif mənbələrin həyəcanlandırdığı seysmik impulslar tutuşdurularaq, onların hamisinin minimal-fazlı impulsa gətirilməsi qərara alınmış və bu həyata keçirilmişdir.

Yaxşı kollektorluq xassələri ilə seçilən anomal zonaların müəyyən edilməsi məqsədilə “ekspres

düşmə ( $0-30^{\circ}$ ) bucaqlarında setdirilmə qabiliyyətini səciyyələndirən qradiyen B əmsalı hesablanmışdır və “normal düşmə halında amplitudlar” və qradiyentlər kublarından istifadə edilmişdir. Aparılmış analiz nəticəsində gömülü Hövsan paleoqalxımının yamacında Miosenin yuxarılarında kollektor xassələrinin yaxşılaşlığı zona ayrılmış və xəritələndirilmişdir.

Müşahidə edilmiş anomaliyaların ölçüləri kiçik olduğundan hər hansı başqa bir obyektə kəşfiyyat qazması aparılsarsa, bu anomaliyanın da sınaqdan keçirilməsi mümkündür.

**ƏDƏBİYYAT:**

1. Ахмедов Т. Р. Динамический анализ данных сейсморазведки 3D площади Говсан с целью выделения перспективных участков на нефть и газ // М.: Геоинформатика 2017. №4. С. 2-6.

2. Воскресенский Ю. Н. Состояние и перспективы развития методов анализа амплитуд сейсмических отражений для прогнозирования залежей углеводородов // Геология, методы поисков, разведки и оценки месторождений топливно-энергетического сырья. Вып. 4 -5. М.: Геоинформцентр, 2002. С. 77.

3. Геология нефти и газовых месторождений Азербайджана. А. Ализаде, Г. А. Ахмедов, А. М. Ахмедов и др. : Недра, 1966, с. 311-313.

4. Логинов Д.В., Лаврик С.А., Некоторые методы определения информативного набора сейсмических атрибутов для прогнозирования свойств коллекторов // Нефтегазовая геология. Теория и практика. М.: 2010, №5, С. 8-14.

5. Продуктивная толща Азербайджана, Том I и II / А.А. Ализаде и др., М, Недра, 2018.

6. Шерифф Р., Гелдарт Л. Сейсморазведка. Обработка и интерпретация данных / Под редакцией д-ра физ.-мат. наук, проф. А.В. Калинина. М.: Мир, 1987. 400 с.

7. Dubrule O., Geostatistics for seismic data integration in Earth models // Tulsa, Oklahoma: Society of Exploration Geophysicist, 2003, 283 p.

8. Feng H., Bancroft J. AVO principles, processing and inversion // CREWES Research Report, Vol.18, p. 200.

*T.R.Akhmadov, I.Libeyova, G.A.Aliyeva, A.M.Mammadova*

**OUTLINE OF PERSPECTIVE INTERVALS OF THE SECTION IN HASILAT AREA ON THE BASIS OF AVO ANALYSIS OF SEISMIC DATA**

**ABSTRACT**

The article provides general information about the study area, the methodology of performed 3D seismic surveys, and brief information about its geological and geophysical knowledge. Field work was carried out on land, sea, small lakes and ponds, and in this regard, various sources of excitation of elastic vibrations were used, as well as seismic receivers: explosive, acoustic, vibration sources and geophones, hydrophones, marshphones were used. This, in turn, made it important and relevant to obtain a single 3D cube from seismic records. This problem was solved by simulation.

After obtaining a single 3D seismic data cube, an “express AVO analysis” was carried out in order to identify anomalous intervals with good reservoir properties and establish their location in plan. AVO analysis calculations were carried out in the binary version of the Schue equation, i.e. coefficient of reflection of a longitudinal wave (P-wave) for the normal state of incidence (coefficient A) and the ability of the P-wave to be reflected at intermediate values of angles of incidence (angles 0-30°). As a result of the AVO analysis, a zone of improved reservoir properties was identified and mapped in the upper part of the Miocene on the slope of the buried Hasilat-2 paleo-elevation. On dynamic (amplitude) sections, this zone is distinguished by intensity against the background of a low-amplitude seismic record. The contours of this anomaly are shown on the map of minimum amplitudes along the SH-V seismic horizon.

*Т.Р.Ахмедов, Е.Т.Алибейова, Г.А.Алиева, А.М.Мамедова*

## ВЫЯВЛЕНИЕ ПЕРСПЕКТИВНЫХ ИНТЕРВАЛОВ РАЗРЕЗА НА ПЛОЩАДИ ХАСИЛАТ НА ОСНОВЕ АНАЛИЗА AVO ДАННЫХ СЕЙСМОРАЗВЕДОЧНЫХ РАБОТ

### АННОТАЦИЯ

В статье даются общие сведения о площади исследований, методика выполненных сейсморазведочных работ 3D, краткая информация о ее геолого-геофизической изученности. Полевые работы проводились на суше, море, малых озерах и прудах, и в этой связи применялись различные источники возбуждения упругих колебаний, а также сейсмоприемники: использовались взрывные, акустические, вибрационные источники и геофоны, гидрофоны, маршфоны. Это, в свою очередь, сделало важным и актуальным вопрос получения единого 3D-куба из сейсмических записей. Эта проблема была решена с помощью моделирования.

После получения единого 3D-куба сейсмических данных был проведен «экспресс AVO-анализ» с целью выявления аномальных интервалов с хорошими коллекторскими свойствами и установления их расположения в плане. Расчеты AVO-анализа проводились в бинарной версии уравнения Шуе, т.е. коэффициента отражения продольной волны (P-волны) для нормального состояния падения (коэффициент A) и способности P-волны отражаться при промежуточных значениях углов падения (углы 0-30°). В результате AVO-анализа выделена и закартирована зона улучшенных коллекторских свойств в верхней части миоцена на склоне погребенного палеоподнятия Хасилат-2. На динамических (амплитудных) разрезах эта зона выделяется интенсивностью на фоне слабоамплитудной сейсмической записи. Контуры этой аномалии показаны на карте минимальных амплитуд вдоль сейсмического горизонта СГ-V.

- *Bəşər tarixinin ən böyük kəşfi – od və ya təkər: elm hələ də ayırd edə ilmir – hansıdır bunlardan birincisi.*
- *Amerikan yazarı Y.Harari demişdir ki, Marks dirilsəydi, yəqin ki, «Kənali» oxumaq əvəzinə, internet və insan genomuna dair ədəbiyyat oxumağı tövsiyyə edərdi.*
- *Qocalıq insana daha sadıq imiş – ölünə qədər onu buraxmaz.*
- *A.Eynətəyin bir yumorunda demişdi ki, «riyaziyyatçılar mənim nisbilik əzəriyyətmə girişəndən sonra mən onu başa düşmürəm».*
- *Birinə deyəndə ki, «Yüz il yaşa» - o inciyə bilər, bəlkə o daha çox yaşı maq istəyir.*